



Kinetics and Thermodynamics of Phosphorus Adsorption onto a Clay Soil Influenced by Various Environmental Parameters

B. Kamali¹, A. Sotoodehnia^{2*}, A. Mahdavi Mazdeh³

Received: 01-01-2022

Revised: 19-01-2022

Accepted: 18-04-2022

Available Online: 21-07-2022

How to cite this article:

Kamali B., Sotoodehnia A., and Mahdavi Mazdeh A. 2022. Kinetics and Thermodynamics of Phosphorus Adsorption onto a Clay Soil Influenced by Various Environmental Parameters. Journal of Water and Soil 36(2): 251-266. (In Persian with English abstract)

DOI: [10.22067/JSW.2022.74179.1124](https://doi.org/10.22067/JSW.2022.74179.1124)

Introduction

Phosphorus is an essential soil nutrient that plays key roles in plant growth and development. Limited availability of P is the main constraint for crop production in many soils. Long-term phosphate fertilizers application in agricultural areas to increase the physiological efficiency of crops can lead to a significant P accumulation. The process of P fixation or sorption includes precipitation and adsorption onto mineral and organic surfaces. Various factors such as clay content, organic matter, exchangeable Al, Fe, Ca content and pH soil affect P sorption capacity. In order to achieve the proper management of P fertilization, it is necessary to understand the mechanism of the sorption process and the contributing factors, as well as how to influence these factors. Qazvin plain is one of the most important agricultural plains in Iran, playing a pivotal role in maintaining national food security. Cultivating crops such as wheat, barley, alfalfa and corn in different areas of this plain is widespread. Therefore, high amounts of phosphate fertilizers are applied in this plain every year. In this study, the kinetic and equilibrium adsorption of P in a heavy textured agricultural soil sample in Qazvin plain were investigated under the influence of some different environmental parameters.

Materials and Method

In order to conduct the kinetic adsorption experiment, one gram soil samples were placed in the shaker in contact with 25 ml of 0.01 M CaCl₂ solution containing 20 mg P l⁻¹. Time intervals were 0.17, 0.5, 1, 2, 4, 8, 16, 24, 48 and 72 hours. The effects of temperature (12, 25, 38 °C), salinity (0, 8.96, 17.02, 32.09, 46.25 dS m⁻¹), pH (2.5, 3.5, 5.36, 7.5, 9.5, 11.5) and the type of background solution (distilled water and 0.01 M CaCl₂ solution) were also investigated on P equilibrium adsorption. In the equilibrium batch experiments, the soil samples were placed in contact with the background solutions containing 0, 15, 20, 30, 50, 80 and 100 mg P l⁻¹ (ratio 1:25) for 24 hours. The concentration of P in the samples was determined by a spectrophotometer after passing through the filter. The amount of P adsorption to each soil sample was then calculated based on the concentrations. The experiments were carried out in the factorial and completely randomized designs with three replications for each treatment. Using CurveExpert 1.4 software, the Langmuir and Freundlich isotherms, as well as the pseudo-first-order, pseudo-second-order, the Elovich and Intra-particle diffusion models were fitted to the obtained laboratory data. Statistical analysis of experimental data was done based on the Tukey test at 5% level using Minitab software. The thermodynamics of P adsorption was also determined by examining parameters of the Gibbs free energy, enthalpy and entropy changes.

Results and Discussion

According to the results, the highest amount of adsorption occurred in the first 8 hours of soil contact with P solution, and approximate time of achieving the equilibrium conditions was 24 to 48 hours. The process of P adsorption onto soil particles consisted of two fast and slow stages until the equilibrium was reached. The kinetic

1, 2 and 3- Ph.D. Graduate and Associate Professors of Water Science and Engineering Department, Faculty of Agriculture and Natural Resources, Imam Khomeini International University, Qazvin, Iran, respectively.

(*- Corresponding Author Email: a.sotoodehnia@eng.ikiu.ac.ir)

adsorption properties of the studied soil was best described by the Elovich equation ($r^2=0.964$). The Freundlich model showed better fit than the Langmuir equation to the equilibrium data. The effects of all four parameters of temperature, salinity, pH and background electrolyte solution on the P equilibrium adsorption were significant. By changing the temperature from 25 to 38 °C, q_m (Langmuir coefficient) was 2.1 times. It was also 7.5 times under the conditions of using CaCl_2 solution instead of distilled water. Increasing pH caused an increase in adsorption rate and the highest amount of adsorption changes occurred in the pH varying between 5.36 and 7.5. However, the highest and lowest P adsorption percentage with the values of 45 and 37% were related to zero and 46.25 dS m^{-1} salinity, respectively. The results also indicated that the sorption process was endothermic and spontaneous.

Conclusion

Adjusting and controlling the studied parameters in the soil during the application of phosphate fertilizers can optimize P use efficiency and increase crop yield in the studied area. Based on the results of the present study, it is recommended to add sulfur, ammonium sulfate, ammonium nitrate fertilizers and organic compounds to the studied calcareous soil with high pH and low salinity. Application of this method can reduce soil pH, which leads to a decreased P sorption onto the soil particles and an enhanced P availability for plants. Adjusting the P fertilization time with the crop growth and uptake is also recommended due to the high adsorption of P onto the soil particles in a short period of time.

Keywords: Adsorption kinetics, Electrolyte solution, Phosphorus, Salinity, Thermodynamics

مقاله پژوهشی

جلد ۳۶، شماره ۲، خرداد-تیر ۱۴۰۱، ص ۲۶۶-۲۵۱

سینتیک و ترمودینامیک جذب فسفر در یک خاک رسی تحت تأثیر پارامترهای محیطی مختلف

بهنوش کمالی^۱ - عباس ستوده نیا^{۲*} - علی مهدوی مزده^۳

تاریخ دریافت: ۱۴۰۰/۱۰/۱۱

تاریخ پذیرش: ۱۴۰۱/۰۱/۲۹

چکیده

بررسی و پیش‌بینی فرآیند جذب فسفر در خاک نقش بسزایی در ارائه راهکارهای کاربردی برای کاهش تجمع فسفر مصرفی و افزایش قابلیت دسترسی آن برای محصولات کشت شده دارد. در این مطالعه، سینتیک جذب و همینطور اثرات دما در سه سطح (۱۲، ۲۵ و ۳۸ درجه سانتی‌گراد)، شوری در پنج سطح (۰، ۸/۹۶، ۱۷/۰۲، ۳۲/۰۹ و ۴۶/۲۵ دسی‌زیمنس بر متر)، pH در شش سطح (۲/۵، ۳/۵، ۴/۵، ۵/۵، ۷/۵، ۹/۵ و ۱۱/۵) و نوع محلول زمینیه حاوی فسفر (آب مقطر و محلول کلسیم کلرید ۰/۰۱ مولار) بر روی جذب تعادلی فسفر در یک خاک کشاورزی منطقه مهدی آباد دشت قزوین با استفاده از آزمایش رآکتوری مورد ارزیابی قرار گرفت. نتایج نشان داد که معادله الوویچ بالاترین همبستگی ($R^2=0/964$) را با داده‌های آزمایشگاهی سینتیک جذب داشت و بیش‌ترین میزان جذب در ۸ ساعت اول تماس خاک با محلول فسفر اتفاق افتاد. با تغییر دما از ۲۵ به ۳۸ درجه سانتی‌گراد حداکثر ظرفیت جذب ۲/۱ برابر و در شرایط استفاده از محلول الکترولیت کلسیم کلرید به جای آب مقطر حداکثر ظرفیت جذب ۷/۵ برابر بود. این عوامل از طریق تأثیرگذاری بر روی قدرت تبادل یونی منجر به تغییر مقدار جذب فسفر بر روی سطوح جذب شده‌اند. کاهش شوری و افزایش pH نیز از طریق ایجاد تغییر در تعداد آنیون‌های موجود در محلول و نوسان در بار سطوح جذب، افزایش معنی‌دار در مقدار جذب را موجب گردیده و بیشترین مقدار تغییرات در جذب، بین pH ۵/۳۶ تا ۷/۵ اتفاق افتاد. نتایج بررسی ترمودینامیک جذب نیز بیانگر گرماگیر و خود به خودی بودن فرآیند جذب بود.

واژه‌های کلیدی: ترمودینامیک، سینتیک جذب، شوری، فسفر و محلول الکترولیت

مقدمه

فسفر در مقایسه با دیگر عناصر غذایی پرمصرف، دارای حداقل تحرک و قابلیت دسترسی برای گیاهان در اکثر خاک‌ها است؛ از این رو غالباً عامل اصلی و اولیه محدود کننده رشد گیاه به حساب می‌آید. به منظور افزایش عملکرد فیزیولوژیکی گیاه در مناطق کشاورزی هر ساله مقادیر بالایی از کودهای فسفاتی مصرف می‌شود که بیش‌تر فسفر اضافه شده به دلیل فرآیندهای جذب و تثبیت مورد استفاده گیاه قرار نمی‌گیرد (Hamdi et al., 2014; Safari Sinigani and Sedri, 2011). همچنین، تلفات فسفر تجمع یافته در پروفیل خاک از طریق رواناب، آبشویی یا فرسایش خاک می‌تواند منجر به فرآیند بهرپوری^۴ و کاهش کیفیت آب‌های سطحی گردد (Ngatia et al.,

2019; Tirado and Allsopp, 2012). برای درک دینامیک فسفر

خاک و چگونگی چرخه آن در سیستم‌های زراعی؛ آشنایی با فرآیند جذب، مکانیسم‌های مربوط به آن و مدل‌های توصیف کننده این فرآیند (ایزوترم‌های جذب) ضروری به نظر می‌رسد (Hamdi et al., 2014; Maguire et al., 2001).

ولدی و هایلی (Wolde and Haile, 2015) در مطالعه‌ای حداکثر ظرفیت جذب را برای چند نمونه‌ی خاک جنوب اتیوپی با بافت‌های لومی، لوم رسی و لوم سیلتی در محدوده‌ی ۵۶۰ تا ۸۳۳ میلی گرم فسفر در کیلوگرم خاک گزارش کردند و آلومینوم قابل تبادل و آهن قابل استخراج را دو عامل اصلی مسبب ظرفیت جذب بالا در این خاک‌ها برشمردند. فینک و همکاران (Fink et al., 2016) و ظفر و همکاران (Zafar et al., 2016) در مطالعاتی جداگانه بر روی

۱، ۲ و ۳- به ترتیب دانش آموخته دکتری و دانشیاران گروه علوم و مهندسی آب، دانشکده کشاورزی و منابع طبیعی، دانشگاه بین‌المللی امام خمینی (ره)، قزوین، ایران
(* نویسنده مسئول: Email: a.sotoodehnia@eng.ikiu.ac.ir)

مواد و روش‌ها

مشخصات منطقه مورد مطالعه

در این تحقیق به منظور انجام مطالعات جذب فسفر، یک نمونه خاک رسی از یک منطقه کشاورزی با طول و عرض جغرافیایی $36^{\circ} 09' 11''$ و $49^{\circ} 52' 36''$ در روستای مهدی‌آباد واقع در شمال دشت قزوین برداشت شد. مطابق با آمار اداره تحقیقات هواشناسی استان قزوین در سال ۱۳۹۵، اقلیم منطقه مورد مطالعه از نوع نیمه خشک سرد و متوسط دما و میانگین بارش سالانه به ترتیب ۱۴-۱۲ درجه سانتی‌گراد و ۳۳۰-۲۷۰ میلی‌متر می‌باشد. در اواخر بهار سال ۱۳۹۷، نمونه‌های خاک از سه نقطه مجزا در محدوده مورد نظر و از عمق ۰ تا ۳۰ سانتی‌متری برداشت شد و پس از مخلوط شدن با هم و خشک شدن در معرض هوا، آزمایش‌های مربوط به خاک و جذب فسفر روی آن صورت گرفت. خصوصیات فیزیکی و شیمیایی نمونه‌ی خاک مورد مطالعه در **جدول ۱** آورده شده است. تعیین بافت خاک با استفاده از آزمایش دانه بندی و هیدرومتری (Gee and Bauder, 1986) و اندازه گیری pH در گل اشباع و EC در عصاره گل اشباع خاک مربوطه با استفاده از pH متر و EC متر صورت گرفت (Rhoades, 1996; Thomas, 1996). آهن قابل دسترس توسط محلول DTPA استخراج شده و اندازه گیری غلظت آن به وسیله دستگاه جذب اتمی صورت گرفت (Lindsay and Norrvell, 1978). غلظت کلسیم قابل تبادل در خاک براساس درصد کربنات کلسیم خاک و به روش تیتراسیون (Loeppert and Suarez, 1996) و درصد ماده آلی خاک (کربن آلی) به روش اکسیداسیون تر والکی بلک تعیین شدند (Walkley and Black, 1934). اندازه گیری فسفر کل نیز براساس روش هضم با اسید نیتریک و اسید پرکلریک و با استفاده از دستگاه اسپکتروفتومتر صورت گرفت (Murphy and Riley, 1962; Sparks, 1996).

آزمایش سینتیک جذب فسفر

به منظور بررسی سینتیک جذب، مقدار فسفر جذب شده پس از ۰/۱۷، ۰/۵، ۱، ۲، ۴، ۸، ۱۶، ۲۴، ۴۸ و ۷۲ ساعت تماس فسفر محلول با نمونه خاک اندازه گیری شد. در این راستا، یک گرم خاک خشک و عبور داده شده از الک ۲ میلی‌متر از نمونه مورد نظر وزن شد و به ظرف ۶۰ میلی‌لیتری منتقل شد. محلول ۰/۰۱ مولار کلسیم کلرید (CaCl_2) حاوی غلظت فسفر ۲۰ میلی گرم در لیتر از منبع منو فسفات پتاسیم (KH_2PO_4) پایه تهیه شده و مقدار ۲۵ میلی‌لیتر از آن به منظور ایجاد نسبت ۱:۲۵ خاک به محلول به هریک از نمونه‌های خاک اضافه گردید.

خاک‌های نیمه گرمسیری جنوب برزیل به نقش عملیات کشاورزی و روش مدیریت خاک بر جذب فسفر به دنبال تأثیر پذیری خصوصیات فیزیکی خاک از این عوامل اشاره نمودند. ژانگ و هوانگ (Zhang and Huang, 2011) در مطالعه‌ای اعلام کردند که با افزایش دما و کاهش شوری، مقدار جذب فسفر در رسوبات شبه جزیره فلوریدا افزایش یافته و تأثیر این عوامل به مقدار فسفر قابل تبادل در رسوب وابسته بود. بای و همکاران (Bai et al., 2017) گزارش نمودند که در سه نوع خاک باتلاقی چین، افزایش pH و دما در محدوده‌های پایین (pH کمتر از ۵/۵، ۶/۲، ۵/۲) و دمای کمتر از ۳۶/۸، ۱۹/۴ و ۵۸/۶ درجه سانتی‌گراد، افزایش در مقدار جذب فسفر را به دنبال دارند؛ در حالیکه مقادیر بیش از حدود آستانه ذکر شده در بالا در این پارامترها منجر به کاهش جذب در خاک‌های مورد بررسی می‌گردد. رگان و اندرسون (Regan and Andersen, 2013) به منظور بررسی سینتیک جذب در خاک‌های لومی، لوم سیلتی و رس سیلتی برداشت شده از مناطقی در ایالت آیووا آمریکا، اثر بازه‌های زمانی یک تا ۲۸ روز تماس خاک با محلول فسفر بر جذب را مورد بررسی قرار دادند. نتایج مطالعه‌ی آن‌ها نشان داد که زمان تماس نسبتاً کوتاهی (۱، ۵ و ۱۰ روز) برای جذب فسفر به وسیله خاک نیاز است. سانتوس و همکاران (Santos et al., 2011)، حمدی و همکاران (Hamdi et al., 2014)، ماگویر و همکاران (Maguire et al., 2001) و چونگ و ونکیچالام (Cheung and Venkitachalam, 2006) نیز بر بیشتر بودن سرعت جذب فسفر در مرحله اول تماس با خاک و ادامه‌دار بودن این فرآیند در مدت زمان نسبتاً طولانی اشاره داشتند. صفری سینجانی و صدری (Safari Sinigani and Sedri, 2011) در مطالعه‌ای اثرات دما و فعالیت میکروبی را بر سینتیک جذب و قابلیت دسترسی فسفر در دو نوع نمونه خاک سطحی از استان‌های گیلان (pH بین ۵/۹ تا ۶/۸) و همدان (pH بین ۷/۸ تا ۸) مورد ارزیابی قرار داده و جذب بیش‌تر فسفر توسط خاک‌های منطقه معتدل در مقایسه با خاک‌های منطقه نیمه خشک را گزارش نمودند. معاضد و همکاران (Moazed et al., 2010) در آزمایشی که طی دو فصل زراعی و به منظور ارزیابی خصوصیات مرتبط با جذب فسفر در چندین نمونه خاک اسیدی واقع در شهر امیدیه صورت گرفت، کربن آلی، pH خاک و مقادیر کلسیم و آلومینیوم قابل تبادل را عوامل مؤثر بر تفاوت مقادیر فسفر جذب شده در خاک‌های مختلف اعلام نمودند.

دشت قزوین از مهم‌ترین دشت‌های کشاورزی ایران به شمار می‌رود و کشت انواع محصولات زراعی از قبیل گندم، جو، یونجه و ذرت و به تبع آن مصرف کودهای فسفر در این دشت به طور گسترده صورت می‌گیرد. هدف از این مطالعه، ارزیابی سینتیک جذب و همینطور اثر پارامترهای محیطی مختلف بر جذب تعادلی فسفر در یک نمونه خاک کشاورزی منطقه مهدی‌آباد واقع در دشت قزوین بود.

جدول ۱- مشخصات فیزیکی و شیمیایی نمونه خاک مورد مطالعه

Table 1- Physicochemical characteristics of the studied soil sample

رس Clay (%)	سیلت Silt (%)	شن Sand (%)	آهن فراهم Fe (mg kg ⁻¹)	کلسیم تبادل Ca (mg kg ⁻¹)	فسفر کل P (mg kg ⁻¹)	ماده آلی Organic matter (%)	کربنات کلسیم CaCO ₃ (%)	pH	EC (dS m ⁻¹)
41	27	32	8	36.7	871	0.83	12.56	8.22	0.66

اثر دما (۱۲، ۲۵ و ۳۸ درجه سانتی‌گراد)، شوری (۰، ۸/۹۶، ۱۷/۰۲، ۳۲/۰۹ و ۴۶/۲۵ دسی‌زیمنس بر متر)، pH (۲/۵، ۳/۵، ۵/۳۶، ۷/۵، ۹/۵ و ۱۱/۵) و نوع محلول الکترولیت زمینه حاوی فسفر (آب مقطر و محلول کلسیم کلرید ۰/۰۱ مولار) بر جذب تعادلی فسفر بررسی شد. در آزمایش بررسی اثر دما، محلول ۰/۰۱ مولار کلسیم کلرید حاوی غلظت‌های ۰، ۱۵، ۲۰، ۳۰، ۵۰، ۸۰ و ۱۰۰ میلی‌گرم در لیتر فسفر و در آزمایش‌های مربوط به شوری و pH، محلول حاوی غلظت ۲۰ میلی‌گرم در لیتر فسفر با نسبت ۱:۲۵ (نسبت خاک به محلول) به نمونه‌های خاک اضافه شدند. شوری‌های مختلف با اضافه کردن مقادیر متفاوتی از NaCl و pH های مورد نظر نیز با افزودن مقادیر لازم از HCl و NaOH به محلول زمینه ایجاد شدند (در نمونه محلول با pH برابر ۵/۳۶ هیچ گونه اسید یا باز به محلول اولیه اضافه نشد). در آزمایش بررسی اثر نوع محلول الکترولیت نیز نمونه‌های خاک در تماس با دو نوع محلول زمینه حاوی غلظت‌های فسفر مشابه با آزمایش دما قرار گرفتند. با توجه به نتایج آزمایش سینتیک در بخش قبلی در رابطه با زمان حدودی دستیابی به تعادل، نمونه‌ها به مدت ۲۴ ساعت در دستگاه شیکر با سرعت ۲۵۰ دور در دقیقه قرار گرفته و غلظت نمونه‌های عبوری از فیلتر صافی در دستگاه اسپکتروفتومتر قرائت شدند. آزمایش‌های جذب مرتبط با بررسی اثر شوری و pH در قالب طرح کاملاً تصادفی صورت گرفت. این در حالی است که در آزمایش‌های جذب مربوط به اثر دما و نوع محلول زمینه از طرح فاکتوریل (دو عاملی) استفاده شد تا اثر عامل غلظت فسفر نیز بر روی مقادیر جذب در نظر گرفته شود. در تمامی آزمایش‌های جذب برای هر تیمار سه تکرار در نظر گرفته شد.

با استفاده از نرم‌افزار CurveExpert ۱/۴ دو ایزوترم لانگمویر و فروندلیچ بر داده‌های آزمایشگاهی بدست آمده انطباق داده شد و ضرایب جذب در این معادلات و اثر دما و نوع محلول الکترولیت بر روی این ضرایب مطالعه گردید. ایزوترم‌های لانگمویر و فروندلیچ به ترتیب در معادلات ۵ و ۶ نمایش داده شده‌اند.

$$q_e = \frac{q_m k_1 c_e}{1 + k_1 c_e} \quad (5)$$

$$q_e = k_f c_e^n \quad (6)$$

در این معادلات، q_e مقدار فسفر جذب شده در واحد وزن خاک (mg g^{-1})، c_e غلظت فسفر در محلول تعادلی (mg l^{-1})، q_m ظرفیت

سه قطره کلروفورم نیز برای جلوگیری از فعالیت میکروبی به هریک از ظرف‌های حاوی نمونه خاک و محلول افزوده شد. نمونه‌های سوسپانسیون خاک در بازه‌های زمانی اشاره شده در دستگاه شیکر با سرعت ۲۵۰ دور در دقیقه و در دمای ۲۵ درجه سانتی‌گراد قرار داده شده و پس از خارج سازی از دستگاه شیکر به مدت ۱۰ دقیقه در دستگاه سانتریفیوژ با سرعت ۳۰۰۰ دور در دقیقه قرار گرفتند و سپس از فیلتر ۰/۴۵ میکرون عبور داده شدند. اندازه‌گیری غلظت فسفر در این محلول‌های شفاف به روش وانادو مولیبدات و با استفاده از دستگاه اسپکتروفتومتر در طول موج ۴۷۰ نانومتر صورت گرفت. از تفاضل مقادیر اولیه غلظت و غلظت ثانویه پس از مدت زمان مشخص (mg l^{-1})، مقادیر فسفر جذب شده به نمونه خاک (mg g^{-1}) در هریک از نمونه‌های مورد مطالعه تعیین گردید (Pierzynski, 2000).

معادلات شبه مرتبه اول، شبه مرتبه دوم، الوویچ و نفوذ درون ذره‌ای که از متداول‌ترین مدل‌های توصیف‌کننده سینتیک جذب فسفر در خاک هستند، با استفاده از نرم‌افزار CurveExpert ۱/۴ بر داده‌های آزمایشگاهی جذب منطبق شدند. ضرایب جذب (پارامترهای ثابت) و دقت این معادلات در برآورد سینتیک جذب فسفر در خاک مورد نظر ارزیابی و مقایسه شدند. این معادلات به ترتیب در روابط ۱، ۲، ۳ و ۴ نمایش داده شده‌اند.

$$q_t = q_e [1 - \exp(-k_1 t)] \quad (1)$$

$$q_t = \frac{q_e^2 k_2 t}{1 + q_e k_2 t} \quad (2)$$

$$q_t = \frac{1}{\beta} \ln(1 + \alpha \beta t) \quad (3)$$

$$q_t = k_p t^{1/2} + c \quad (4)$$

در این معادلات، q_t مقدار فسفر جذب شده در زمان t (mg g^{-1})، q_e مقدار فسفر جذب شده در حالت تعادل (mg g^{-1})، k_1 ثابت سینتیک مرتبه اول (min^{-1})، k_2 ثابت سینتیک مرتبه دوم ($\text{g mg}^{-1} \text{min}^{-1}$)، α ثابت سرعت جذب اولیه الوویچ ($\text{mg g}^{-1} \text{min}^{-1}$)، β ثابت جذب (g mg^{-1})، k_p ثابت سرعت نفوذ درون ذره‌ای ($\text{mg g}^{-1} \text{min}^{-1/2}$) و c ثابت نفوذ درون ذره‌ای (mg g^{-1}) است (Lopez-Luna et al., 2019; Zhang et al., 2015).

بررسی اثر دما، شوری، pH و نوع محلول زمینه حاوی فسفر بر جذب تعادلی فسفر در خاک

$$s = \sqrt{\frac{\sum(y-x)^2}{n-2}} \quad (11)$$

در اینجا، n تعداد مشاهدات و x و y مقادیر مشاهداتی و پیش‌بینی شده می‌باشند (Mirzaghaderi et al., 2010).

نتایج و بحث

سینتیک جذب فسفر

نتایج مربوط به ضرایب جذب، ضرایب تعیین و خطای معیار برآورد حاصل از انطباق مدل‌های سینتیک شبه مرتبه اول، شبه مرتبه دوم، نفوذ درون ذره‌ای و الویج بر داده‌های آزمایشگاهی در جدول ۲ آورده شده است. همانطور که مشاهده می‌شود، معادلات الویج ($r^2=0/964$) و نفوذ درون ذره‌ای ($r^2=0/884$) به ترتیب بالاترین همبستگی را با داده‌های سینتیک جذب داشتند و ضرایب تعیین در این معادلات در سطح ۱ درصد معنی دار بودند. این در حالی است که مدل سینتیک شبه مرتبه اول و پس از آن مدل شبه مرتبه دوم کمترین دقت را در پیش‌بینی سینتیک جذب فسفر در خاک مورد مطالعه داشتند. در مطالعه‌ای بر روی سینتیک جذب فسفر در چند نمونه خاک قلیایی با بافت رسی و لوم شنی، مقادیر ضرایب تعیین برای معادلات شبه مرتبه اول، شبه مرتبه دوم و الویج به ترتیب $0/96-0/68$ ، $0/99-0/91$ و $0/94-0/84$ گزارش شدند (Hamdi et al., 2014). در تحقیقی دیگر، مدل سینتیک شبه مرتبه دوم در توصیف جذب فسفر در خاک‌هایی با درصد‌های مختلف عناصر آهن، آلومینیوم و کلسیم مناسب تشخیص داده شد (Zhang et al., 2015). همچنین، نتایج آزمایشی در این زمینه حاکی از همبستگی بالای معادله کو و لوتس با خصوصیات مرتبط با سینتیک جذب فسفر در چندین نمونه خاک با خصوصیات متفاوت فیزیکی و شیمیایی بود (Santos et al., 2011). مقایسه نتایج به دست آمده از تحقیقات مختلف نشان می‌دهد که مناسب‌ترین و دقیق‌ترین مدل در توصیف سینتیک جذب فسفر در هر مطالعه براساس ترکیبی از خصوصیات فیزیکی و شیمیایی خاک تأثیرگذار بر فرآیند جذب از جمله EC، pH، درصد کلسیم، آهن، آلومینیوم و بافت خاک تعیین می‌گردد.

جدول ۲- پارامترهای ثابت معادلات سینتیک جذب فسفر در خاک مورد مطالعه

Table 2- Constant parameters of adsorption kinetic equations of P in studied soil

شبه مرتبه اول (Pseudo-first-order)				شبه مرتبه دوم (Pseudo-second-order)			
q_e	k_1	r^2	s	q_e	k_2	r^2	s
0.216	0.144	0.236NS	0.028	0.225	0.854	0.539*	0.022
نفوذ درون ذره‌ای (Intra-particle diffusion)				الویج (Elovich)			
c	k_p	r^2	s	β	α	r^2	s
0.177	0.001	0.884**	0.011	67.830	80.398	0.964**	0.006

NS، *، ** به ترتیب نشان‌دهنده عدم معنی‌داری و معنی‌داری در سطح احتمال ۵ درصد و ۱ درصد
NS، *، **: indicate non-significant, significant at 5% and 1% probability levels, respectively

جذب ماکزیمم ($mg\ g^{-1}$)، k_1 و k_f ثابت جذب لانگمویر و فروندلیچ (l g^{-1}) و n ضریب وابسته به انرژی جذب فسفر (توان فروندلیچ) است (Moazed et al., 2010).

بررسی ترمودینامیک جذب فسفر

در این بخش از مطالعه، پارامترهای ترمودینامیکی شامل تغییرات انرژی آزاد گیبس (ΔG°)، آنتالپی (ΔH°) و آنتروپی (ΔS°) با استفاده از روابط ۷، ۸ و ۹ محاسبه شدند. K_d ثابت تعادل جذب بر حسب میلی لیتر بر گرم است که از معادله ۷ بدست می‌آید. با رسم نمودار $\ln K_d$ در برابر $1/T$ مقادیر شیب و عرض از مبدأ معادله خط مربوطه استخراج شده و مطابق با معادله ۸، تغییرات آنتالپی و آنتروپی تعیین می‌گردد. در این معادله R ثابت جهانی گازها با مقدار $8/314$ ژول بر مول بر درجه کلوین است. تغییرات انرژی آزاد گیبس نیز با استفاده از معادله ۹ برای دماهای مختلف محاسبه می‌گردد (Sarathi Guru and Dash, 2012).

$$K_d = \frac{q_e}{C_e} \quad (7)$$

$$\ln(K_d) = \frac{\Delta S^\circ}{R} - \frac{\Delta H^\circ}{RT} \quad (8)$$

$$\Delta G^\circ = \Delta H^\circ - T\Delta S^\circ \quad (9)$$

تحلیل آماری

تجزیه و تحلیل آماری داده‌های بدست آمده از آزمایش‌های جذب شامل تجزیه واریانس و مقایسه میانگین مقادیر جذب فسفر تحت تأثیر سطوح مختلف شوری، pH، دما و محلول زمینه با استفاده از نرم‌افزار آماری Minitab و بر اساس آزمون توکی در سطح احتمال ۵ درصد انجام شد. برای تعیین بهترین معادلات منطبق بر جذب تعادلی و سینتیک از ضریب تعیین (r^2) و خطای معیار برآورد (s) استفاده گردید که به ترتیب در معادلات ۱۰ و ۱۱ نمایش داده شده‌اند.

$$r^2 = \left(\frac{n \sum xy - \sum x \sum y}{\sqrt{[n \sum x^2 - (\sum x)^2][n \sum y^2 - (\sum y)^2]}} \right)^2 \quad (10)$$

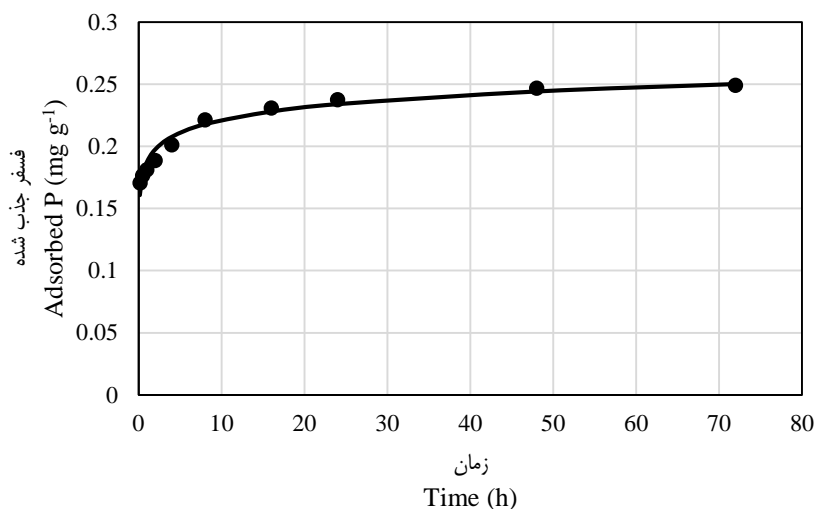
تماس با محلول فسفر، جذب حدود ۷۵ درصدی از فسفر محلول با گذشت ۴۵ دقیقه رخ داد؛ در حالیکه در تعدادی دیگر از نمونه ها این زمان تا ۱۰۲۰ دقیقه نیز به طول انجامید (Santos *et al.*, 2011). در برخی از مطالعاتی دیگر نیز مدت زمان لازم برای دستیابی به تعادل در مقدار جذب فسفر در خاک‌هایی با بافت‌های مختلف از جمله رسی، رس سیلتی و لوم سیلتی، ۲۴ تا ۴۸ ساعت گزارش شده است (Hamdi *et al.*, 2014; Regan and Andersen, 2013).

اثر شوری بر جذب فسفر

نتایج تجزیه واریانس داده‌های جذب بیانگر معنی دار بودن اثر شوری در سطح ۵ درصد بر مقدار جذب فسفر در خاک بود. تغییرات درصد جذب فسفر در برابر شوری‌های مورد مطالعه و نتایج مربوط به مقایسه میانگین‌ها در شکل ۲ آورده شده است. در شوری صفر، بالاترین درصد جذب فسفر با مقدار ۴۵ درصد مشاهده شد و پایین‌ترین درصد جذب نیز مربوط به شوری ۴۶/۲۵ دسی‌زیمنس بر متر با مقدار ۳۷ درصد بود. همچنین، نتایج مربوط به مقایسه میانگین نشان داد که بیش‌ترین تغییرات کاهش‌ی فسفر جذب شده تا شوری ۱۷/۰۲ دسی‌زیمنس بر متر اتفاق افتاد و پس از آن تغییر معنی‌داری در مقدار جذب فسفر با افزایش شوری رخ نداد. رقابت یون‌های کلرید (Cl^{-1}) در محلول حاوی نمک با یون‌های فسفات بر سر مکان‌های جذب روی ذرات خاک می‌تواند دلیل اصلی کاهش مقدار جذب فسفر به دنبال افزایش شوری باشد.

معادله الوویچ با بالاترین ضریب تعیین در این مطالعه، در توصیف فرآیندهای جذب شیمیایی و در سیستم‌هایی با سطوح جاذب ناهمگن مناسب تشخیص داده شده است. پارامتر α ثابت مربوط به سرعت جذب اولیه و بیانگر نرخ جذب شیمیایی است. در حالیکه پارامتر β به وسعت پوشش سطحی و انرژی فعال‌سازی جذب شیمیایی وابسته است و در جاذب‌هایی با توزیع ناهمگن مکان‌های جذب، انرژی فعال‌سازی در سطح جاذب متفاوت است (Lopez-Luna *et al.*, 2019).

برازش مدل سینتیک الوویچ بر داده‌های آزمایشگاهی سینتیک جذب در شکل ۱ نمایش داده شده است. مطابق با نتایج این مطالعه، حدود ۶۸ درصد از کل مقدار جذب فسفر مربوط به ۱۰ دقیقه اول تماس فسفر با خاک بود. همچنین، بیش‌ترین تغییرات در مقدار فسفر جذب شده در ۸ ساعت اول تماس خاک با فسفر محلول اتفاق افتاد (حدود ۸۸ درصد کل مقدار جذب فسفر)، پس از آن سرعت جذب فسفر کاهش یافت و در مدت زمان تقریبی ۲۴ تا ۴۸ ساعت به تعادل رسید. بنابراین در این شکل، دو مرحله‌ای بودن سینتیک جذب فسفر (سریع و کند) تا زمان دستیابی به تعادل قابل مشاهده است. بر همین اساس، زمان تماس خاک با محلول حاوی فسفر در آزمایشات تعادلی بررسی اثر پارامترهای مختلف بر جذب فسفر ۲۴ ساعت در نظر گرفته شد. به طور کلی، نفوذ فسفر به منافذ خاک و اشباع شدن سطوح جاذب با فسفر به عنوان عوامل مؤثر در کاهش مقدار جذب فسفر با گذر زمان گزارش شده‌اند (Cheung and Venkitachalam, 2006). طی مطالعه‌ای نشان داده شد که در برخی از نمونه‌های خاک در



شکل ۱- برازش معادله الوویچ بر داده‌های آزمایشگاهی سینتیک جذب (محلول زمینه: کلسیم کلرید ۰/۰۱ مولار؛ غلظت فسفر: ۲۰ میلی‌گرم در لیتر؛ pH: ۵/۳۶؛ دما: ۲۵ درجه سانتی‌گراد؛ نسبت خاک به محلول: ۱ به ۲۵)

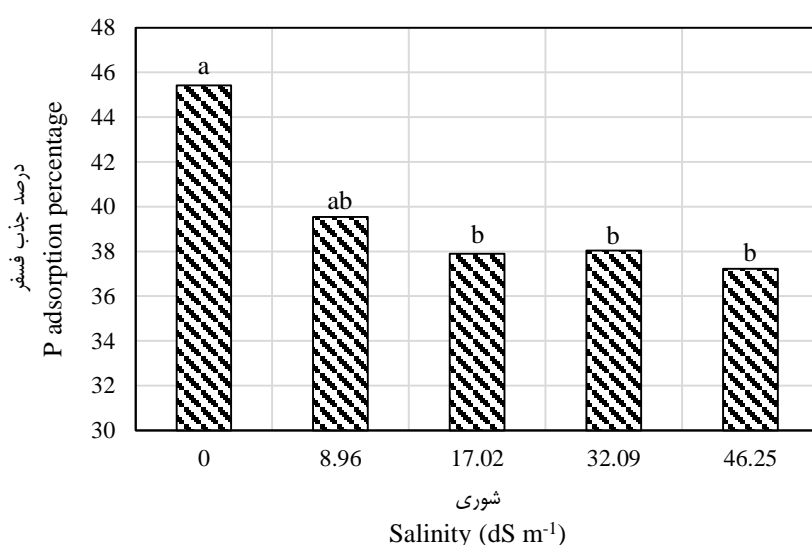
Figure 1- Fitting the Elovich equation to experimental data of adsorption kinetics (background solution: 0.01 M CaCl₂; P concentration: 20 mg l⁻¹; pH: 5.36; temperature: 25°C; soil/solution ratio: 1/25)

داده شده است. با توجه به شکل، کمترین مقدار جذب فسفر با متوسط ۴۵ درصد مربوط به pH ۲/۵ تا ۵/۳۶ بود و با افزایش pH جذب فسفر در نمونه‌ی خاک افزایش یافت؛ به طوریکه بیشترین مقدار جذب مربوط به pH ۷/۵ تا ۱۱/۵ با متوسط ۸۴ درصد بود. همچنین، بیشترین مقدار تغییرات در جذب (افزایش ۸۲ درصدی) بین pH ۵/۳۶ و ۷/۵ اتفاق افتاد و در pH کمتر از ۵/۳۶ و بیش از ۷/۵ تغییرات در مقدار جذب فسفر نسبتاً پایین بود. نتایج مطالعه‌ای نشان داد که افزایش pH (مقادیر بالاتر از ۶) کاهش ثابت تعادلی جذب و ظرفیت جذب فسفر را به دنبال داشته است (Huang et al., 2016). آزمایشی دیگر، حداقل جذب فسفر در رسوبات مورد مطالعه مربوط به pH بین ۷ و ۸ بود و با افزایش اسیدیته (pH < ۷) و قلیائیت (pH > ۸) جذب فسفر به تدریج افزایش یافت (Hou et al., 2003). به طور کلی، نوسان در pH از طریق ایجاد تغییر در خصوصیات مرتبط با بار سطوح، منجر به تغییر در رسوب و جذب ذرات می‌گردد (Illés and Tombácz, 2006). مطابق با نتایج مطالعات، در مقادیر پایین pH، پروتونه شدن گروههای هیدروکسیل بر روی ذرات جاذب به دلیل حضور یون هیدروژن (H^+) در محلول رخ می‌دهد.

همچنین، در برخی مطالعات گزارش شده است که افزایش شوری منجر به کاهش بار مثبت هیدروکسیدهای فلزی شده و از این طریق مانع جذب می‌گردد (Bruland and DeMent, 2009). در مطالعه‌ای گزارش شد که با نصف شدن مقدار شوری، مقدار فسفات جذب شده تقریباً ۱/۵ برابر شده است (Zhang and Huang, 2011). در آزمایشی دیگر مشاهده شد که جذب فسفر بر رسوبات در مقادیر پایین شوری افزایش یافت؛ در حالیکه با افزایش شوری (مقادیر بالای ۵ گرم در لیتر) جذب فسفر کاهش پیدا کرد (Liu et al., 2002). در مطالعه‌ای بر روی دو نمونه خاک، به دنبال افزایش شوری کاهش تدریجی در جذب فسفر مشاهده گردید؛ در حالی که در نمونه‌ای دیگر بیشترین مقدار جذب فسفر در شوری ۳۰ گرم در لیتر و در شوری‌های کمتر و بیش‌تر جذب کمتری گزارش شد (Bai et al., 2017).

اثر pH بر جذب فسفر

تجزیه واریانس داده‌های مربوط به جذب فسفر در pH های مختلف بیانگر اثر معنی دار pH در سطح ۱ درصد بر مقدار جذب فسفر در نمونه‌ی خاک بود. درصد جذب فسفر در pH های مختلف مورد مطالعه و همینطور نتایج مربوط به مقایسه میانگین‌ها در شکل ۳ نشان



شکل ۲- اثر سطوح مختلف شوری بر درصد جذب فسفر در نمونه خاک مورد مطالعه (محلول زمینه: کلسیم کلرید ۰/۰۱ مولار؛ غلظت فسفر: ۲۰ میلی‌گرم در لیتر؛ pH: ۵/۳۶؛ EC: ۰، ۸/۹۶، ۱۷/۰۲، ۳۲/۰۹، ۴۶/۲۵ دسی‌زیمنس بر متر؛ دما: ۲۵ درجه سانتی‌گراد؛ نسبت خاک به محلول: ۱ به ۲۵)

Figure 2- Effect of different levels of salinity on P adsorption percentage in the studied soil sample (background solution: 0.01 M CaCl₂; P concentration: 20 mg l⁻¹; pH: 5.36; ECs: 0, 8.96, 17.02, 32.09, 46.25 dS m⁻¹; temperature: 25°C; soil/solution ratio: 1/25)

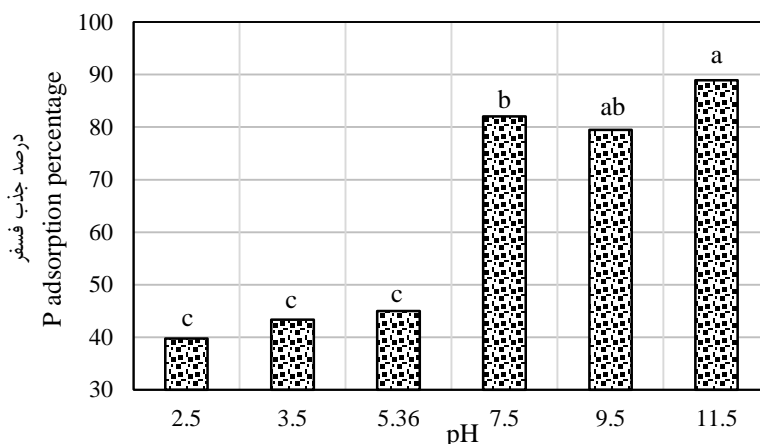
حروف متفاوت معنی‌داری و حروف مشابه عدم معنی‌داری در سطح ۵ درصد را نشان می‌دهند
Different letters and similar letters indicate significant and non-significant at 5% level

تحت تأثیر دو نوع محلول زمینه برای هریک از غلظت های مورد مطالعه، اثر نوع محلول زمینه بر جذب فسفر برای غلظت های اولیه ۱۵، ۲۰ و ۱۰۰ میلی گرم در لیتر در سطح ۱ درصد و در سایر غلظت های اولیه مورد بررسی در سطح ۵ درصد معنی دار شد. نتایج مربوط به مقایسه میانگین مقادیر جذب فسفر برای دو نوع محلول زمینه و در غلظت های اولیه مختلف در شکل ۴ آورده شده است. مقادیر جذب شده در غلظت های اولیه مختلف نشان می دهد که مقدار جذب در محلول زمینه کلسیم کلرید حاوی فسفر، حدود ۳ تا ۶ برابر مقدار جذب در آب مقطر حاوی فسفر بوده است. همینطور اینگونه به نظر می رسد که با افزایش غلظت اولیه فسفر در محلول زمینه، اختلاف بین مقادیر جذب شده در دو حالت مورد آزمایش بیش تر بوده است. اثر متقابل معنی دار بین نوع محلول زمینه و غلظت اولیه بر روی جذب فسفر توسط ذرات خاک نیز حاکی از تشدید اثر حضور کلسیم کلرید در محلول زمینه بر مقدار افزایش جذب فسفر به دنبال افزایش غلظت اولیه فسفر بود. همچنین، افزایش در مقادیر فسفر جذب شده به دنبال افزایش غلظت اولیه فسفر در آزمایش هر دو نوع محلول زمینه خصوصاً در محلول حاوی کلسیم کلرید در شکل ۴ قابل مشاهده است.

از این رو، واکنش تبادل یونی و جذب الکتروستاتیک بین گروه هیدروکسیل سطحی با بار مثبت و آنیون فسفات در محدوده پایین pH صورت می گیرد. این در حالی است که در pH قلیایی که واکنش های تبادل یونی غیر فعال هستند، تعامل اسید- پایه لوئیس و واکنش های گیرنده و پذیرنده الکترون بین اکسیدهای فلزی بر روی سطوح جاذب و آنیون های فسفات، نقش اصلی را در فرآیند جذب بازی می کنند (Li et al., 2015). به علاوه، در محلول های قلیایی با مقادیر بالای pH، کلسیم به عنوان کاتیون غالب با فسفات واکنش داده و ترکیبات نامحلول فسفات کلسیم را تشکیل می دهد. همین امر می تواند موجب افزایش رسوب و جذب سطحی فسفات بر روی ذرات خاک در pH های بالا گردد (Cerozi and Fitzsimmons, 2016).

اثر نوع محلول الکترولیت زمینه بر جذب فسفر

تجزیه واریانس داده های جذب فسفر تحت تأثیر تیمارهای نوع محلول زمینه حاوی فسفر و غلظت اولیه به طور همزمان صورت گرفت و نتایج نشان داد که اثر هریک از دو عامل بر روی مقدار فسفر جذب شده در سطح ۱ درصد و اثر متقابل آن ها در سطح ۵ درصد معنی دار بود. همچنین، مطابق با نتایج تجزیه واریانس داده های جذب

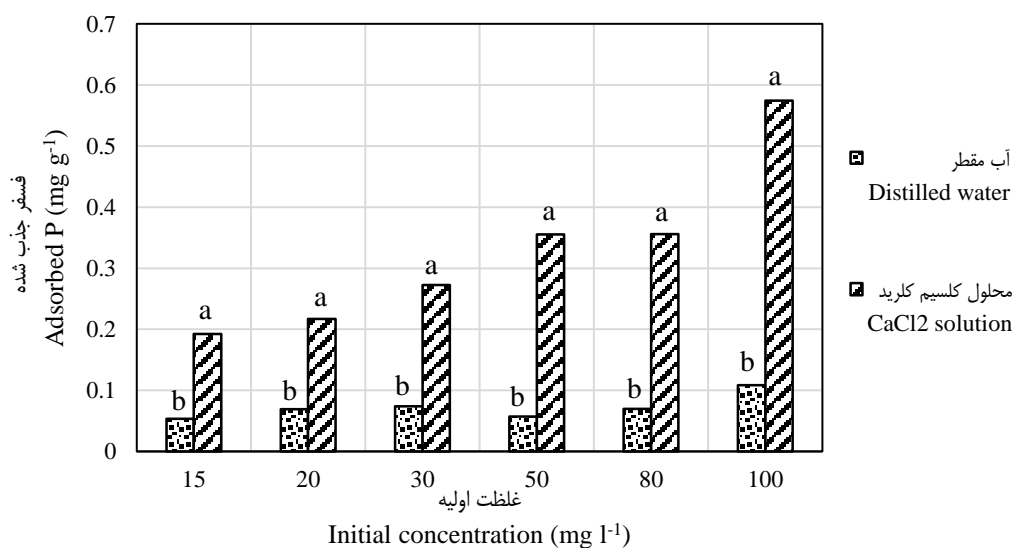


شکل ۳- اثر سطوح مختلف pH بر درصد جذب فسفر در نمونه ی خاک مورد مطالعه (محلول زمینه: کلسیم کلرید ۱/۰۱ مولار؛ غلظت فسفر: ۲۰ میلی گرم در لیتر؛ pH ها: ۲/۵، ۳/۵، ۵/۳۶، ۷/۵، ۹/۵، ۱۱/۵؛ دما: ۲۵ درجه سانتی گراد؛ نسبت خاک به محلول: ۱ به ۲۵)

Figure 3- Effect of different levels of pH on P adsorption percentage in the studied soil sample (background solution: 0.01 M CaCl₂; P concentration: 20 mg l⁻¹; pHs: 2.5, 3.5, 5.36, 7.5, 9.5, 11.5; temperature: 25°C; soil/solution ratio: 1/25)

حروف متفاوت معنی داری و حروف مشابه عدم معنی داری در سطح ۱ درصد را نشان می دهند

Different letters and similar letters indicate significant and non-significant at 1% level



شکل ۴- مقایسه‌ی میانگین مقادیر فسفر جذب شده در دو نوع محلول زمینه و غلظت‌های اولیه‌ی مختلف (محلول‌های زمینه: آب مقطر و کلسیم کلرید ۰/۰۱ مولار؛ غلظت‌های فسفر: ۱۵، ۲۰، ۳۰، ۵۰، ۸۰، ۱۰۰ میلی‌گرم در لیتر؛ pH: ۵/۳۶؛ دما: ۲۵ درجه سانتی‌گراد؛ نسبت خاک به محلول: ۱ به ۲۵)

Figure 4- Comparison of the average values of P adsorbed in two types of background solution and different initial concentrations (background solutions: distilled water and 0.01 M CaCl₂; P concentrations: 15, 20, 30, 50, 80, 100 mg l⁻¹; pH: 5.36; temperature: 25°C; soil/solution ratio: 1/25)

حروف متفاوت معنی‌داری در سطح ۱ و ۵ درصد را نشان می‌دهند

Different letters indicate significant at 1 and 5% levels

جاذب با فسفر اشباع نشده و افزایش محسوسی در مقدار جذب فسفر حتی در غلظت‌های بالای فسفر اولیه قابل ملاحظه است. این در حالی است که به نظر می‌رسد در آزمایشی که با آب مقطر صورت گرفته، تعداد مکان‌های جذب در سطح ذرات خاک کمتر ولی تمایل به جذب فسفر بیش‌تر بوده است. به این صورت که در غلظت‌های پایین‌تر فسفر اولیه، مکان‌های جذب با فسفر اشباع شده و پس از آن به دنبال افزایش غلظت فسفر، روند افزایشی در جذب مشاهده نشده است. ضرایب k_f و n در معادله فروندلیچ نیز که به ترتیب نشان دهنده جذب سطحی (ظرفیت جذب) و انرژی جذب فسفات هستند، در محلول زمینه کلسیم کلرید با مقادیر بالاتری مشاهده شده‌اند. به طور کلی، نتایج مطالعات نشان داده است که Ca^{2+} اثر دفع الکتروستاتیک بین فسفات و سطح خاک را کاهش داده و پیوندهای کاتیونی ایجاد شده به وسیله کلسیم بین آنیون‌های فسفات و مکان‌های جذب با بار منفی بر روی سطوح خاک عامل افزایش جذب فسفر در شرایط استفاده از محلول CaCl_2 می‌باشد (Bala et al., 2000; Barrow et al., 1980; Muwamba et al., 2019). در پژوهشی دیگر نیز افزایش جذب از طریق تشکیل پیوند کلسیم بین گروه فسفر در گلیفوسات ($\text{C}_3\text{H}_8\text{NO}_5\text{P}$) و سطح خاک با بار منفی گزارش شده است (Ololade et al., 2019). روند مشابهی در رابطه با k^+ برای جذب فسفر در برخی دیگر از مطالعات جذب مشاهده شده و افزایش جذب

نتایج مربوط به ضرایب جذب و برآورد دقت معادلات حاصل از انطباق دو ایزوترم لانگمویر و فروندلیچ بر داده‌های جذب فسفر در جدول ۳ ارائه شده و چگونگی همبستگی داده‌های آزمایشگاهی با معادلات مورد بررسی در شکل ۵ آورده شده است. بر اساس نتایج، همبستگی نسبتاً بالایی بین معادلات مورد بررسی و داده‌های آزمایشگاهی جذب خصوصاً در شرایط استفاده از محلول کلسیم کلرید ۰/۰۱ مولار به عنوان محلول الکترولیت زمینه وجود داشت. همچنین، در هر دو نوع محلول زمینه مورد بررسی، ضرایب تعیین بالاتر مربوط به معادله فروندلیچ بودند. استفاده از محلول کلسیم کلرید ۰/۰۱ مولار به عنوان محلول زمینه منجر به افزایش چشمگیری در مقدار جذب فسفر به خاک شد و مقدار q_m در این شرایط حدود ۷/۵ برابر مقدار آن در شرایط استفاده از آب مقطر تخمین زده شد. ضریب k_f که ثابت مرتبط با انرژی پیوند بوده و تمایل خاک به جذب فسفر را نشان می‌دهد، در شرایط استفاده از محلول زمینه کلسیم کلرید مقدار کمتری را به خود اختصاص داده است. مقایسه دو ضریب معادله لانگمویر در شرایط انجام آزمایش با دو نوع محلول زمینه مختلف نشان می‌دهد که تعداد مکان‌های جذب فسفر در حضور کلسیم کلرید در محلول زمینه بیش‌تر و تمایل به جذب فسفر کمتر بوده است. از این رو، همانطور که شکل ۵ نیز مشاهده می‌شود، ظرفیت جذب در این شرایط در مقایسه با شرایط عدم حضور کلسیم کلرید بیش‌تر بوده؛ ولی سطوح

و فروندلیچ و ضرایب تعیین (r^2) و خطای معیار برآورد (s) برای سه دمای مورد بررسی در جدول ۴ آورده شده است. ضرایب تعیین برای هر سه دمای مورد بررسی در هر دو معادله دارای مقادیر بالایی بود و همگی در سطح ۱ درصد معنی دار بودند. با این حال به نظر می رسد که معادله فروندلیچ با ضرایب تعیین بالای ۰/۹ در توصیف جذب تعادلی فسفر در دماهای مختلف موفق تر عمل کرده است. بررسی و مقایسه مقادیر مربوط به q_m در دماهای مختلف نشان داد که با افزایش دما از ۱۲ به ۲۵ درجه سانتی گراد و از ۲۵ به ۳۸ درجه سانتی گراد، حداکثر ظرفیت جذب فسفر به ترتیب به ۱/۳ و ۲/۱ برابر شد. مطابقت ایزوترم های لانگمویر و فروندلیچ با داده های آزمایشگاهی جذب در دماهای مورد مطالعه در شکل ۶ نشان داده شده است.

فسفر به دنبال افزایش غلظت محلول الکترولیت زمینه گزارش شده است (Gimsing and Borggaard, 2001; Pardo et al., 1992). به نظر می رسد که پایین بودن مقدار جذب فسفر در آب مقطر به این دلیل است که غلظت کاتیون ها و قدرت یونی در این شرایط در مقایسه با محلول الکترولیت به مقدار قابل توجهی کمتر است (Muwamba et al., 2019). در مطالعات دیگر نیز بر تأثیر قوی محلول زمینه الکترولیت KCl و $CaCl_2$ بر جذب فسفات تأکید شده است (Beji et al., 2017; Biswas et al., 1999).

اثر دما بر جذب فسفر و پارامترهای ترمودینامیک جذب نتایج مربوط به مقادیر پارامترهای جذب در ایزوترم های لانگمویر

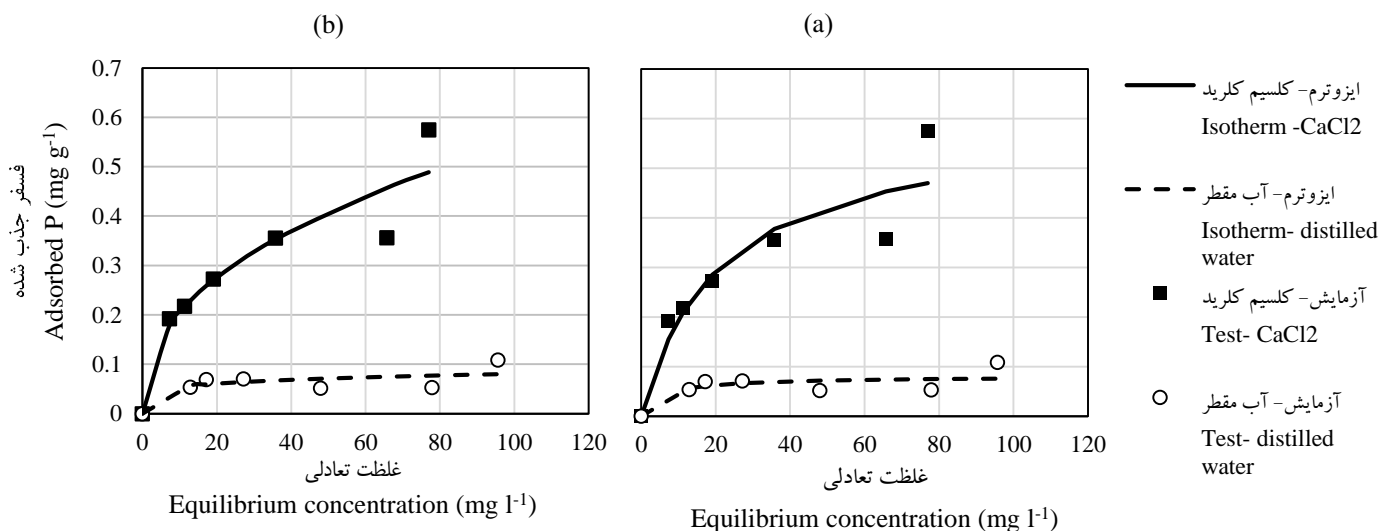
جدول ۳- ضرایب ثابت معادلات جذب لانگمویر و فروندلیچ در دو نوع محلول زمینه

Table 3- Constant coefficients of Langmuir and Freundlich isotherms in two types of background solution

محلول زمینه Background solution	لانگمویر (Langmuir)				فروندلیچ (Freundlich)			
	q_m	k_l	r^2	s	k_f	n	r^2	s
آب مقطر Distilled water	0.080	0.184	0.672*	0.020	0.036	0.176	0.694*	0.020
کلسیم کلرید ۰/۰۱ مولار 0.01M $CaCl_2$	0.597	0.048	0.881**	0.067	0.077	0.425	0.906**	0.060

*, **: به ترتیب نشان دهندهی معنی داری در سطح احتمال ۵ درصد و ۱ درصد

*, **: indicate significant at 5% and 1% probability levels, respectively



شکل ۵- برازش معادلات لانگمویر (a) و فروندلیچ (b) بر داده های آزمایشگاهی در شرایط کاربرد دو نوع محلول زمینه (محلول های زمینه: آب مقطر و کلسیم کلرید ۰/۰۱ مولار؛ غلظت های فسفر: ۰، ۱۵، ۲۰، ۳۰، ۵۰، ۸۰، ۱۰۰ میلی گرم در لیتر؛ pH: ۵/۳۶؛ دما: ۲۵ درجه سانتی گراد؛ نسبت خاک به محلول: ۱ به ۲۵)

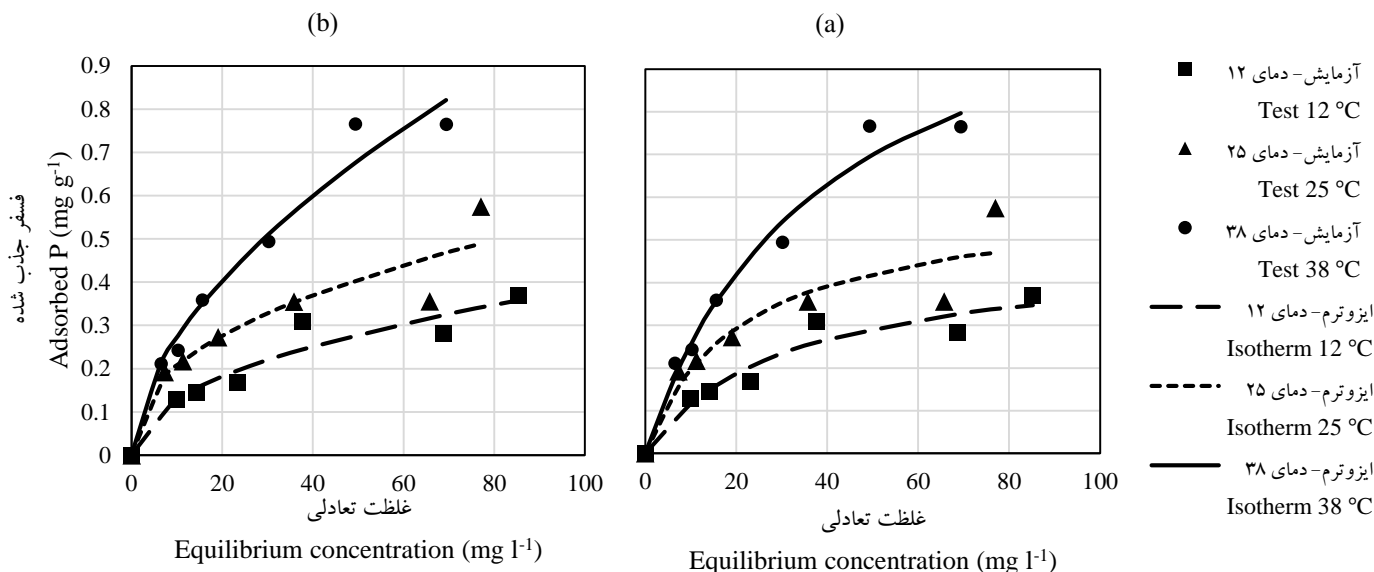
Figure 5- Fitting the Langmuir (a) and Freundlich (b) isotherms to experimental data in terms of application of two types of background solution (background solutions: distilled water and 0.01 M $CaCl_2$; P concentrations: 0, 15, 20, 30, 50, 80, 100 mg l^{-1} ; pH: 5.36; temperature: 25°C; soil/solution ratio: 1/25)

جدول ۴- پارامترهای ایزوترم‌های لانگمویر و فروندلیچ برای جذب فسفر در سه دمای مورد مطالعه

Table 4- The parameters of Freundlich and Langmuir isotherms for adsorption of P in three studied temperatures

دما Temperature (°C)	لانگمویر (Langmuir)				فروندلیچ (Freundlich)			
	q_m	k_l	r^2	s	k_f	n	r^2	s
12	0.472	0.033	0.935**	0.035	0.045	0.468	0.930**	0.037
25	0.597	0.048	0.881**	0.067	0.077	0.425	0.906**	0.060
38	1.245	0.026	0.980**	0.044	0.073	0.571	0.974**	0.051

** نشان‌دهنده‌ی معنی‌داری در سطح احتمال ۱ درصد
 **: indicates significant at 1% probability level



شکل ۶- برازش معادلات لانگمویر (a) و فروندلیچ (b) بر داده‌های آزمایشگاهی در دماهای مختلف (محلول زمینه: کلسیم کلرید ۰/۰۱ مولار؛ غلظت‌های فسفر: ۰، ۱۵، ۲۰، ۳۰، ۵۰، ۸۰، ۱۰۰ میلی‌گرم در لیتر؛ pH: ۵/۳۶؛ دماها: ۱۲، ۲۵، ۳۸ درجه سانتی‌گراد؛ نسبت خاک به محلول: ۱ به ۲۵)

Figure 6- Fitting the Langmuir (a) and Freundlich (b) isotherms to experimental data in different temperatures (background solution: 0.01 M CaCl₂; P concentrations: 0, 15, 20, 30, 50, 80, 100 mg l⁻¹; pH: 5.36; temperatures: 12, 25, 38°C; soil/solution ratio: 1/25)

غلظت‌های مورد مطالعه، بیانگر متفاوت بودن اثر دما بر مقدار جذب فسفر در غلظت‌های مختلف بود. مطابق با این نتایج، در غلظت‌های اولیه ۵۰ و ۸۰ میلی‌گرم در لیتر فسفر محلول، اثر دما بر جذب فسفر در خاک بی معنی و در سایر غلظت‌های اولیه مورد بررسی در سطح ۵ درصد معنی دار بود. همچنین بر اساس شکل ۶، در تمامی غلظت‌های مورد مطالعه، افزایش دما منجر به افزایش در مقدار جذب گردید. این در حالی است که درصد افزایش در مقدار جذب فسفر به ازای یک افزایش دمای مشخص برای غلظت‌های اولیه مختلف یکسان نبوده است. به عنوان نمونه در دو غلظت اولیه پایین‌تر (۱۵ و ۲۰ میلی‌گرم در لیتر) افزایش دما از ۲۵ به ۳۸ درجه سانتی‌گراد به ترتیب افزایش حدود ۱۰ و ۱۲ درصدی را موجب گردید؛ در حالیکه در غلظت اولیه ۸۰ میلی‌گرم در لیتر به ازای همین تغییرات دما، جذب فسفر حدوداً دو برابر (افزایش ۱۱۵ درصدی) شد. بنابراین، با توجه به معنی دار بودن

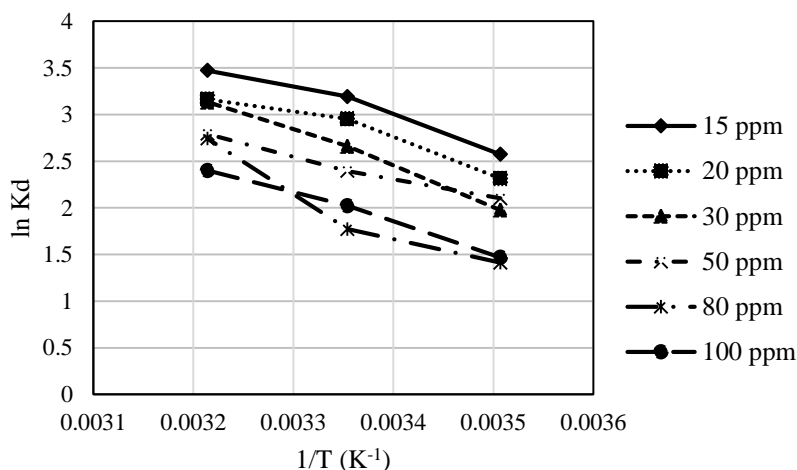
نتایج تجزیه واریانس مقادیر جذب فسفر تحت تأثیر تیمارهای دما و غلظت اولیه بیانگر معنی‌دار بودن اثر دما، غلظت اولیه و همبستگی متقابل دو عامل بر مقدار جذب فسفر در سطح ۱ درصد بود. همانطور که در شکل ۶ مشاهده می‌شود، افزایش در غلظت اولیه فسفر محلول، افزایش در مقدار جذب فسفر را در هریک از دماهای مورد مطالعه به دنبال داشت. این در حالی است که شیب تغییرات صورت گرفته در مقدار جذب فسفر برای غلظت‌های پایین‌تر فسفر محلول در مقایسه با غلظت‌های بالاتر بیشتر بود. در خاک‌هایی با این شکل منحنی جذب، در غلظت پایین فسفر تعادلی پیوستگی قوی بین فسفر و سطوح ذرات خاک ایجاد می‌شود؛ ولی با افزایش غلظت فسفر محلول و به دنبال کاهش سطوح جاذب، جذب فسفر کاهش یافته و در نهایت تثبیت می‌شود (Sparks, 2003). همچنین، تجزیه واریانس و مقایسه میانگین مقادیر فسفر جذب شده در سه دمای مختلف برای هریک از

جدول ۵ آورده شده است.

مقادیر منفی ΔG° در دماها و غلظت‌های مختلف نشان دهنده ماهیت خود به خودی جذب فسفر به وسیله خاک مورد مطالعه است. همانطور که در جدول بالا مشاهده می‌شود، با افزایش دما مقادیر مربوط به تغییرات انرژی آزاد گیبس منفی تر می‌شود که به معنی تمایل بیش تر خاک به جذب فسفات است. به همین ترتیب مقایسه مقادیر این پارامتر در غلظت‌های مختلف فسفر محلول بیانگر کاهش تمایل جذب فسفات به وسیله ذرات خاک در غلظت‌های بالاتر فسفر است. همچنین، مثبت بودن مقادیر مربوط به تغییرات آنتالپی واکنش نشان دهنده گرماگیر بودن فرآیند جذب و مقادیر مثبت تغییرات آنتروپی نشان دهنده افزایش بی نظمی سیستم در حد فاصل ماده جاذب و محلول در طی فرآیند جذب است. نتایج برخی مطالعات دیگر نیز در این زمینه حاکی از گرماگیر و خود به خودی بودن فرآیند جذب فسفر به سطوح جاذب بوده است (Karunanithi et al., 2017; Liu and Hu, 2019).

اثر متقابل دما و غلظت اولیه، اینگونه به نظر می‌رسد که با افزایش غلظت اولیه فسفر اثر دما نیز بر روی مقدار جذب فسفر تشدید شده است. تغییر در درجه حرارت از طریق تأثیر بر قدرت تبادل یونی در محل تماس محلول و ذرات جاذب بر جذب و واجذب فسفر تأثیر می‌گذارد (Liu et al., 2002). افزایش دما انرژی پیوند مورد نیاز برای جذب فسفر در خاک و همینطور تشکیل رسوب را افزایش می‌دهد. دمای بالا همچنین زمان لازم برای تشکیل ترکیبات کریستالی را کاهش می‌دهد (Reddy and DeLaune, 2008). نتایج مطالعه‌ای در این زمینه نشان داد که هر ۱۰ درجه سانتی‌گراد افزایش در دما به طور تقریبی ۱/۳ برابر افزایش در جذب فسفات را به دنبال داشته است (Zhang and Huang, 2011). در آزمایشی دیگر که روی جذب فسفر در رسوبات دریاچه‌های مختلف صورت گرفت، افزایش جذب فسفات به دنبال افزایش دما از ۱۰ به ۳۵ درجه سانتی‌گراد گزارش گردید (Jin et al., 2005).

نمودار وانت هوف ($\ln K_d$ در برابر $1/T$) برای غلظت‌های مختلف فسفر محلول در سه دمای مورد مطالعه در شکل ۷ نمایش داده شده است. نتایج مربوط به متغیرهای ترمودینامیکی جذب فسفر نیز در



شکل ۷- نمودار وانت هوف برای جذب فسفر به خاک مورد مطالعه

Figure 7- Van't Hoff plot for P adsorption onto studied soil

جدول ۵- پارامترهای ترمودینامیکی جذب فسفر در خاک مورد بررسی

Table 5- Thermodynamic parameters of P adsorption in studied soil

غلظت فسفر P concentration (mg l ⁻¹)	انرژی آزاد گیبس ΔG° (kJ mol ⁻¹)			آنتالپی ΔH° (kJ mol ⁻¹)	آنتروپی ΔS° (J mol ⁻¹ k ⁻¹)
	285 K	298 K	311 K		
15	-6.196	-7.646	-9.096	25.588	111.524
20	-5.618	-6.980	-8.343	24.252	104.806
30	-4.728	-6.444	-8.160	32.895	132.010
50	-4.916	-6.034	-7.152	19.589	85.983
80	-3.073	-4.922	-6.771	37.464	142.236
100	-3.517	-4.886	-6.254	26.483	105.264

محللول حاوی فسفر اتفاق افتاد. همچنین، افزایش معنی دار در جذب فسفات به ذرات خاک به دنبال افزایش pH و دما، کاهش شوری و همینطور حضور کلسیم کلرید در محللول زمینه حاوی فسفر مشاهده شد. با توجه به اینکه درصد بالایی از فسفر اضافه شده به خاک در مدت زمان نسبتاً کوتاهی جذب ذرات خاک می‌شود؛ لازم است هرگونه عملیات در راستای کاهش جذب فسفر و افزایش قابلیت دسترسی آن برای گیاه مانند افزودن گوگرد، سولفات آلومینیوم، کودهای نیترات آمونیوم و ترکیبات آلی، پیش از اضافه شدن کودهای فسفر صورت گیرد. همچنین، توصیه می‌شود که زمان مصرف کودهای فسفر تا حد امکان به بازه زمانی نیاز گیاه به فسفر و جذب آن توسط ریشه (مراحل اولیه رشد گیاه) نزدیک باشد؛ تا از این طریق بازدهی مصرف کود افزایش یافته و میزان هدر رفت و تثبیت آن در پروفیل خاک کاهش یابد.

علیرغم گرماگیر بودن واکنش جذب فسفات بر روی بیش تر جاذب‌ها از جمله اکسیدهای آهن و آلومینیوم، در پژوهشی گرمازا بودن واکنش جذب فسفات بر روی کانی دولومیت گزارش شد (Yuan *et al.*, 2015).

نتیجه‌گیری

نتایج بدست آمده از ارزیابی فرآیند جذب و چگونگی تأثیر پذیری جذب از پارامترهای محیطی مختلف می‌تواند در مدیریت بهینه کوددهی فسفر در خاک منطقه مورد مطالعه نقش بسزایی داشته باشد. در این پژوهش، معادله الویچ بیش ترین مطابقت را با داده‌های سینتیک جذب فسفر در نمونه خاک مورد نظر داشت. فرآیند گرماگیر جذب تا زمان رسیدن به تعادل شامل دو مرحله سریع و کند بود و بیش ترین سرعت فرآیند جذب در ۸ ساعت ابتدای تماس خاک با

منابع

- Bai J., Ye X., Jia J., Zhang G., Zhao Q., Cui B., and Liu X. 2017. Phosphorous sorption- desorption and effects of temperature, pH and salinity on phosphorous sorption in marsh soils from coastal wetlands with different flooding conditions. *Chemosphere* 188: 677-688. <https://doi.org/10.1016/j.chemosphere.2017.08.117>.
- Bala P., Bhardwaj S.S. and Sidhij P.S. 2000. Effect of electrolyte pH on phosphate adsorption by soils. *Asian Journal of Chemistry* 12(2): 394-398.
- Barrow N.J., Bowden J.W., Posner A.M. and Quirk J.P. 1980. Describing the effects of electrolyte on adsorption of phosphate by a variable charge surface. *Australian Journal of Soil Research* 18(4): 395-404. <https://doi.org/10.1071/sr9800395>.
- Beji R., Hamdi W., Kesraoui A., and Seffen M. 2017. Effects of salts on phosphorus adsorption in alkalize Tunisian soil. *Euro-Mediterr J Environ Integr* 2(1): 1-9. <https://doi.org/10.1007/s41207-016-0012-7>.
- Biswas A.K., Tomar K.P., and Barman K.K. 1999. Effect of pH and electrolyte on phosphate adsorption by some vertisols. *Journal of the Indian Society of Soil Science* 47(1): 40-45.
- Bruland G.L., and DeMent G. 2009. Phosphorus sorption dynamics of Hawaii's coastal wetlands. *Estuaries Coasts* 32(5): 844-854. <https://doi.org/10.1007/s12237-009-9201-9>.
- Cerozi B.S., and Fitzsimmos K.M. 2016. The effect of pH on phosphorus availability and speciation in an aquaponics nutrient solution. *Bioresource Technology* 219: 778-781. <https://doi.org/10.1016/j.biortech.2016.08.079>.
- Cheung K.C., and Venkitachalam T.H. 2006. Kinetic studies on phosphorus sorption by selected soil amendments for septic tank effluent renovation. *Environmental Geochemistry and Health* 28(1-2): 121-131. <https://doi.org/10.1007/s10653-005-9021-1>.
- Fink J.R., Inda A.V., Bavaresco J., Barron V., Torrent J., and Bayer C. 2016. Adsorption and desorption phosphorus in subtropical soils as affected by management system and mineralogy. *Soil and Tillage Research* 155: 62-68. <https://doi.org/10.1016/j.still.2015.07.017>.
- Gee G.W., and Bauder J.W. 1986. Particle-size analysis. p. 383-411. In *methods of soil analysis. Part 1. Physical and mineralogical methods*. 2nd ed. Soil Science Society of America Journal. <https://doi.org/10.2136/sssabookser5.1.2ed.c15>.
- Gimsing A.L., and Borggaard O.K. 2001. Effect of KCl and CaCl₂ as background electrolytes on the competitive adsorption of glyphosate and phosphate on goethite. *Clays and Clay Minerals* 49(3): 270-275. <https://doi.org/10.1346/CCMN.2001.0490310>.
- Hamdi W., Pelster D., and Seffen M. 2014. Phosphorus sorption kinetics in different types of alkaline soils. *Archives of Agronomy and Soil Science* 60(4): 577-586. <https://doi.org/10.1080/03650340.2013.830287>.
- Hou L.J., Liu M., Jiang H.Y., Xu S.Y., Ou D.N., Liu Q.M., and Zhang B.L. 2003. Ammonium adsorption by tidal flat surface sediments from the Yangtze estuary. *Environmental Geology* 45: 72-78. <https://doi.org/10.1007/s00254-003-0858-2>.
- Huang S., Huang H., and Zhu H. 2016. Effects of the addition of iron and aluminum salt on phosphorus adsorption

- in wetland sediment. *Environmental Science and Pollution Research* 23(10): 10022-10027. <https://doi.org/10.1007/s11356-016-6188-1>.
15. Illés E., and Tombácz E. 2006. The effect of humic acid adsorption on pH-dependent surface charging and aggregation of magnetite nanoparticles. *Journal of Colloid and Interface Science* 295(1): 115-123. <https://doi.org/10.1016/j.jcis.2005.08.003>.
 16. Jin X., Wang S., Pan Y., Zhao H., and Zhou X. 2005. The adsorption of phosphate on different trophic lake sediments. *Colloids and Surfaces A: Physicochemical and Engineering Aspects* 254: 241-248. <https://doi.org/10.1016/j.colsurfa.2004.11.016>.
 17. Karunanithi R., Ok. Y.S., Dharmarajan R., Ahmad M., Seshadri B., Bolan N., and Naidu R. 2017. Sorption, kinetics and thermodynamics of phosphate sorption onto soybean stover derived biochar. *Environmental Technology and Innovation* 8: 113-125. <https://doi.org/10.1016/j.eti.2017.06.002>.
 18. Li M., Liu J., Xu Y., and Qian G. 2015. Phosphate adsorption on metal oxides and metal hydroxides: a comparative review. *Environment Review* 24: 319-332. <https://doi.org/10.1139/er-2015-0080>.
 19. Lindsay W.L., and Norvell W.A. 1978. Development of a DTPA soil test for zinc, iron, manganese and copper. *Soil Science Society of America Journal* 42(3): 421-428. <https://doi.org/10.2136/sssaj1978.03615995004200030009x>.
 20. Liu Y., and Hu. X. 2019. Kinetics and thermodynamics of efficient phosphorus removal by a composite fiber. *Applied Sciences* 9(11). <https://doi.org/10.3390/app9112220>.
 21. Liu M., Hou L., Xu S., Ou D., Yang Y., Zhang B., and Liu Q. 2002. Adsorption of phosphate on tidal flat surface sediments from the Yangtze Estuary. *Environmental Geology* 42(6): 657-665. <https://doi.org/10.1007/s00254-002-0574-3>.
 22. Loeppert R.H., and Suarez D.L. 1996. Carbonate and Gypsum. Chapter 15. U.S. Department of Agricultural Research Service, Lincoln, Nebraska. <https://doi.org/10.2136/sssabookser5.3.c15>.
 23. Lopez-Luna J., Ramirez-Montes L.E., Martinez-Vargas S., Martinez A.I., Mijangos-Recardez O.F., Gonzalez-Chavez M.A., Carrillo-Gonzalez R., Solis-Dominguez F.A., Cuevas-Diaz M.C., and Vazquez-Hipolito V. 2019. Linear and nonlinear kinetic and isotherm adsorption for arsenic removal by manganese ferrite nanoparticles. *SN Applied Sciences* 1: 950. <https://doi.org/10.1007/s42452-019-0977-3>.
 24. Maguire R.O., Sims J.T., and Foy R.H. 2001. Long- term kinetics for phosphorus sorption- desorption by high phosphorus soils from Ireland and the Delmarva Peninsula, USA. *Soil Science* 166(8): 557-565. <https://doi.org/10.1097/00010694-200108000-00007>.
 25. Mirzaghaderi G., Moradi M., and Fallah F. 2010. An introduction to statistics and probability. Publications of Kurdistan University, Iran. (In Persian)
 26. Moazed H., Hoseini Y., Naseri A.A., and Abbasi F. 2010. Determining phosphorus adsorption isotherm in soil and its relation to soil characteristics. *International Journal of Soil Science* 5(3): 131-139. <https://doi.org/10.3923/ijss.2010.131.139>.
 27. Murphy J., and Riley J.P.A. 1962. A modified single solution method for the determination of phosphate in natural waters. *Analytica Chimica Acta* 27: 31-36. [https://doi.org/10.1016/S0003-2670\(00\)88444-5](https://doi.org/10.1016/S0003-2670(00)88444-5).
 28. Muwamba A., Morgan K.T., and Nkedi-Kizza P. 2019. Sorption of Phosphorus from fertilizer mixture. IntechOpen. University of Florida, Gainesville, Florida, USA. <https://doi.org/10.5772/intechopen.80420>.
 29. Ngatia L.W., Grace III J.M., Moriasi D., Bolques A., Osei G.K., and Taylor R.W. 2019. Biochar Phosphorous sorption- desorption: potential phosphorous eutrophication mitigation. An Imperative Amendment for Soil and the Environment. College of agriculture and food science. Florida University, USA. <https://doi.org/10.5772/intechopen.82092>.
 30. Ololade O.O., Aiyesanmi A.F., Okoronkwo A.E., Ololade I.A., and Adanigbo P. 2019. Influence of electrolyte composition and pH on glyphosate sorption by cow-dung amended soil. *Journal of Environmental Science and Health* 54(9): 758-769. <https://doi.org/10.1080/03601234.2019.1631100>.
 31. Pardo M.T., Guadalix M.E., and Garcia-Gonzalez M.T. 1992. Effect of pH and background electrolyte on P sorption by variable charge soils. *Geoderma* 54(1-4): 275-284. [https://doi.org/10.1016/0016-7061\(92\)90109-K](https://doi.org/10.1016/0016-7061(92)90109-K).
 32. Pierzynski G.M. 2000. Methods of phosphorus analysis for soils, sediments, residuals and waters. A publication of SERA-IEG 17. Kansas State University, Manhattan.
 33. Reddy K.R., and DeLaune R.D. 2008. Biogeochemistry of wetlands: science and applications. CRC Press LLC. Boca ration, Florida. <https://doi.org/10.1201/9780203491454>.
 34. Regan K.B., and Andersen D.S. 2013. Kinetics of phosphorus sorption in vegetative treatment area soils. Agricultural and biosystems engineering. Conference proceedings and presentations, 21-24 Jul. 2013. Kansas City, Missouri. <https://doi.org/10.13031/aim.20131608507>.
 35. Rhoades J.D. 1996. Salinity: Electrical conductivity and total dissolved solids. Chapter 14. U.S. Salinity Laboratory, Riverside, California. **Error! Hyperlink reference not valid.**
 36. Safari Sinangani A.A., and Sedri S. 2011. Effects of sterilization and temperature on the decrease kinetic of phosphorus bioavailability in two different soil types. *Journal of Soil Science and Plant Nutrition* 11(2): 110-123. <https://doi.org/10.4067/S0718-95162011000200010>.

37. Santos H., Oliveira F., Salcedo I., Souza A., and Silva V. 2011. Kinetics of phosphorus sorption in soils in the state of Paraiba. *Revista Brasileira de Ciencia do Solo* 35(4): 1301-1310. <https://doi.org/10.1590/S0100-06832011000400024>.
38. Sarathi Guru P., and Dash S. 2012. Eggshell particles (ESP) as potential adsorbent for styryl pyridinium dyes- A kinetic and thermodynamic study. *Journal of Dispersion Science and Technology* 33: 1012-1020. <https://doi.org/10.1080/01932691.2011.590750>.
39. Sparks D.L. 2003. *Environmental soil chemistry*. Academic press, Amsterdam, The Netherland.
40. Sparks D.L. 1996. *Methods of soil analysis. Part 3. Chemical methods*, Madison, Wis., Soil Science Society of America: American Society of Agronomy. <https://doi.org/10.2136/sssabookser5.3>.
41. Thomas G.W. 1996. Soil pH and soil acidity. Chapter 16. University of Kentuchy, Lexington. <https://doi.org/10.2136/sssabookser5.3.c16>.
42. Tirado R., and Allsopp M. 2012. Phosphorus in agriculture- problems and solutions. Technical Report (review). Greenpeace research laboratories. Amsterdam, the Netherlands.
43. Walkley A., and Black I.A. 1934. An examination of the degtjareff method for determining soil organic matter, and a proposed modification of the chromic acid titration method. *Soil Science* 37(1): 29-38. <https://doi.org/10.1097/00010694-193401000-00003>.
44. Wolde Z., and Haile W. 2015. Phosphorus sorption isotherms and external phosphorus requirements of some soils of southern Ethiopia. *African Crop Science Journal* 23(2): 89-99. <https://doi.org/10.4314/ACSJ.V23I2>.
45. Yuan X., Xia W., An J., Yin J., Zhu X., and Yang W. 2015. Kinetic and thermodynamic studies on the phosphate adsorption removal by dolomite mineral. *Journal of Chemistry* 1-8. <https://doi.org/10.1155/2015/853105>.
46. Zafar M., Tiecher T., Castro Lima J., Schaefer G.L., Santanna M.A., and Santos D.R. 2016. Phosphorus seasonal sorption- desorption kinetics in suspended sediment in response to land use and management in the Guapore catchment, southern Brazil. *Environmental Monitoring and Assessment* 188(643). <https://doi.org/10.1007/s10661-016-5650-3>.
47. Zhang L., Loaiciga H.A., Xu M., Du C., and Du Y. 2015. Kinetics and mechanisms of phosphorus adsorption in soils from diverse ecological zones in the source area of a drinking-water reservoir. *International Journal Environment Research* 12: 14312-14326. <https://doi.org/10.3390/ijerph121114312>.
48. Zhang J.Z., and Huang X.L. 2011. Effect of temperature and salinity on phosphate sorption on marine sediments. *Environmental Science and Technology* 45(16): 6831-6837. <https://doi.org/10.1021/es200867p>.